



## Perilaku Beban-Perpindahan Aksial *Pre-Buckling* dan *Post-Buckling* pada Struktur Kolom Elastis

Sumirin

Jurusan Teknik Sipil, Fakultas Teknik, Universitas Islam Sultan Agung  
 Jl. Raya Kaligawe Km. 04 Semarang  
 E-mail: sumirinms@gmail.com

### Abstract

*The analysis of column buckling is generally based on the analysis of linear eigenvalue problem to obtain the buckling load. In the linear analysis we do not know the load-displacement behavior especially after buckling occurs. This research studied the behavior of the elastic column on the stage pre-buckling and post-buckling by finite geometrically nonlinear of finite element method. Difficulties in equilibrium problem at around the point of buckling load solved by using the Newton-Raphson incremental method with constant arc-length technique. To generate the initial touch of buckling columns are very small lateral load or by providing the initial lateral deformation is very small. Axial load-displacement curve column finite element analysis results compared to the results of previous reseacher. An axial load-displacement curve bilinear proposed in this study.*

**Keywords:** *Column, Buckling, Finite element, Geometrically nonlinear analysis.*

### Abstrak

*Analisis buckling pada kolom pada umumnya didasarkan pada analisis linier masalah nilai eigen untuk mendapatkan beban buckling. Pada analisis linier tidak diketahui perilaku beban-perpindahan terutama setelah terjadi buckling. Penelitian ini mempelajari perilaku kolom elastik pada tahap sebelum dan sesudah buckling dengan metode elemen hingga nonlinier geometri. Kesulitan pada masalah kesetimbangan pada beban di sekitar titik buckling diatasi dengan menggunakan metode inkremental Newton-Raphson dengan teknik panjang busur konstan. Untuk membangkitkan terjadinya buckling kolom diberi sentuhan awal beban lateral yang sangat kecil atau dengan memberikan deformasi awal lateral yang sangat kecil. Kurva beban-perpindahan aksial kolom hasil analisis elemen hingga dibandingkan dengan hasil peneliti terdahulu. Sebuah kurva beban-perpindahan aksial bilinear diusulkan dalam penelitian ini.*

**Kata-kata Kunci:** *Kolom, Buckling, Elemen hingga, Analisis nonlinier geometri .*

### Pendahuluan

Tekuk atau *buckling* pada batang kolom langsing merupakan fenomena instabilitas pada struktur. Perilaku deformasi perpindahan *buckling* tidak dapat diketahui dengan analisis linier tetapi dapat diselesaikan dengan menggunakan analisis nonlinier geometri (*geometrically nonlinear analysis*). Pelopor terkemuka dalam studi perilaku *buckling* kolom adalah Leonhard Euler (1707-1783 M) pada tahun 1759 M (Timoshenko dan Gere, 1961). Hubungan antara beban kritis *buckling* dengan sifat bahan dan geometri kolom telah dirumuskan yang terkenal dengan rumus Euler. Timoshenko dan Gere (1961) merumuskan beban kritis *buckling* pada kolom dan perpindahan

besar (*large displacement*) dengan solusi integral elips. Penelitian selanjutnya yang memberikan perhatian pada masalah perilaku *post-buckling* kolom antara lain dijumpai pada pada Bazant dan Cedolin (1991), Meguro dan Tagel-Din (1999).

Penelitian *post-buckling* kolom terdahulu pada umumnya memberikan perhatian kepada perilaku nonlinier pada kurva beban perpindahan lateral. Perilaku kurva beban-perpindahan aksial belum banyak mendapat perhatian. Menurut penulis, kurva beban-perpindahan aksial pada *post-buckling* kolom sangat penting untuk pelajari untuk diterapkan pada analisis beban batas pada sistem struktur rangka batang atau sistem *frame*. Salah satu atau beberapa komponen batang yang

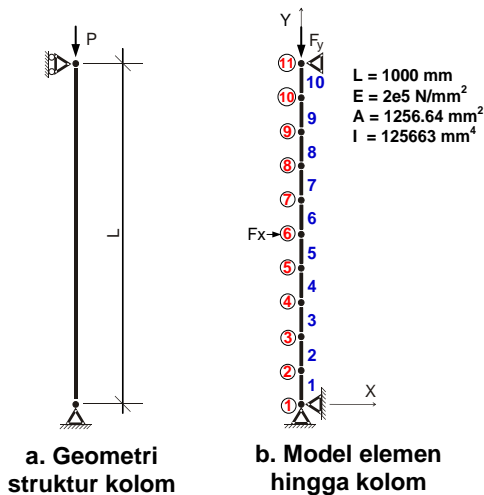
mengalami *buckling* dapat mempengaruhi perilaku sistem struktur secara keseluruhan.

Tujuan penelitian ini adalah untuk mengetahui perilaku beban-perpindahan aksial struktur kolom elastis pada tahap beban *pre-buckling* dan *post-buckling*. Model elemen hingga nonlinier geometri balok-kolom 2 dimensi digunakan dalam penelitian ini. Untuk menimbulkan awal terjadinya *buckling* pada kolom diberikan 2 cara yaitu dengan gaya sentuhan lateral awal yang sangat kecil dan perpindahan awal yang sangat kecil pada kolom.

**Metodologi**

**Definisi masalah**

Struktur kolom ditumpu pada kedua ujungnya dengan beban aksial sentris dengan geometri seperti ditunjukkan pada Gambar 1a Panjang kolom  $L=1000$  mm; luas penampang kolom  $A=1256,64$  mm<sup>2</sup>; momen inersia penampang  $I=125633$  mm<sup>4</sup> dan modulus elastisitas bahan  $E=2 \times 10^5$  N/mm<sup>2</sup>. Penelitian ini menggunakan metode simulasi komputasi numerik Metode Elemen Hingga dengan bantuan Program ANSYS Release 12 dengan fasilitas dari Laboratorium Perancangan dan Tribologi Jurusan Teknik Mesin Universitas Diponegoro Semarang. Pemodelan elemen hingga ditunjukkan pada Gambar 1b. Jenis elemen hingga yang digunakan adalah elemen balok-kolom bidang BEAM3, analisis nonlinier geometri perpindahan besar dengan asumsi sifat bahan masih dalam batas elastis. Beban aksial sentris  $P$  atau  $F_y$  dikerjakan pada sumbu batang. Untuk membangkitkan terjadinya *buckling* pada kolom diberikan gaya atau perpindahan awal pembangkit pada tengah-tengah tinggi kolom. Besarnya gaya atau perpindahan awal sebagai pembangkit sangat kecil yaitu  $F_x=1 \times 10^{-5}$   $F_y$  dan  $\delta_x=1/1000 * L$ .



**Gambar 1. Geometri dan model elemen hingga struktur kolom.**

**Analisis linear buckling kolom**

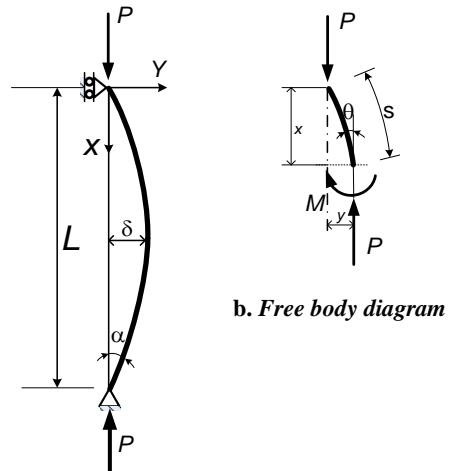
Sebuah kolom dengan panjang  $L$ , dibebani gaya  $P$  yang bekerja pada sumbu batang yang tumpuan ujung-ujungnya sendi dan rol, seperti terlihat pada Gambar 2. Hubungan antara beban kritis *buckling* dengan sifat bahan dan geometri kolom telah dirumuskan oleh Leonhard Euler (Timoshenko dan Gere, 1961), yaitu:

$$P_{cr} = \frac{\pi^2 EI}{L^2} \dots \dots \dots (1)$$

dimana:

- $P_{cr}$  = beban kritis terkecil
- $E$  = modulus elastisitas bahan
- $I$  = momen inersia penampang
- $L$  = panjang tekuk batang.

Persamaan (1) yang dikenal sebagai rumus Euler untuk kolom, memberikan gambaran bahwa karakteristik keruntuhan *buckling* tergantung kepada modulus elastisitas bahan  $E$ , momen inersia batang  $I$ , dan panjang  $L$  dan tidak tergantung kepada kekuatan bahan atau batas kelelahan bahan.



**a. Geometri kolom terdeformasi**

**Gambar 2. Geometri kolom terdeformasi dan free body diagram.**

**Analisis non-linear buckling kolom**

Pada analisis *linear buckling* kolom tidak diketahui hubungan antara beban dengan perpindahan. Untuk mengetahui perilaku hubungan beban-perpindahan kolom sebelum dan sesudah *buckling* dapat dilakukan dengan analisis *nonlinear buckling* kolom dapat didekati dengan teori lendutan besar (*large deflection theory*). Solusi persamaan diferensial pada kasus lendutan besar setelah terjadi *buckling* dapat dilihat pada Timoshenko dan Gere (1961) dan Chajes (1974).

Hubungan antara beban dan lendutan dapat dirumuskan dalam bentuk (Chajes,1974):

$$\frac{P}{P_{cr}} = \frac{4 \kappa^2}{\pi^2} \dots\dots\dots (2)$$

dimana  $\kappa$  adalah sebuah sebuah fungsi:

$$\kappa = \kappa(p) = \int_0^{\pi/2} \frac{d\phi}{\sqrt{1-p^2 \sin^2 \phi}} \dots\dots\dots (3)$$

dimana:

$\phi$  = sebuah variabel yang didefinisikan sebagai  $p \sin \phi = \sin (\theta/2)$

$\theta$  = sudut rotasi batang.

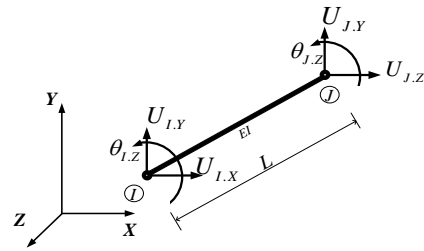
Persamaan (3) dapat dihitung menggunakan tabel integral ellipsis (*elliptic integrals*). Timoshenko & Gere (1961) menyusun tabel hubungan beban kritis kolom  $P_{cr}$  dengan perpindahan vertikal  $\delta_v$  dan horizontal  $\delta_h$ , Persamaan (2) dan Persamaan (3) untuk kolom bertumpuan jepit-bebas dengan ringkasan seperti pada Tabel 1. Berdasarkan Tabel 1 ini dapat digunakan untuk kasus kolom bertumpuan sendi-rol pada kedua ujungnya dengan menggantikan panjang kolom L dengan  $0.5 \cdot L$ .

**Tabel 1. Data hubungan beban-perpindahan buckling pada batang kolom (buckled bar) (Timoshenko & Gere,1961).**

$\alpha$	$0^0$	$20^0$	$40^0$	$60^0$	$80^0$
$P/P_{cr}$	1.00	1.015	1.063	1.152	1.293
$\delta_v/L$	1.00	0.970	0.881	0.741	0.560
$\delta_h/L$	0.00	0.220	0.422	0.593	0.719
$\alpha$	$100^0$	$120^0$	$140^0$	$160^0$	$176^0$
$P/P_{cr}$	1.518	1.884	2.541	4.029	9.116
$\delta_v/L$	0.349	0.123	-0.107	-0.340	-0.577
$\delta_h/L$	0.792	0.803	0.750	0.625	0.421

**Pemodelan elemen hingga kolom**

Jenis elemen yang digunakan untuk pemodelan kolom dalam penelitian ini adalah elemen balok-kolom BEAM3 (ANSYS, 2006) yang memiliki 2 titik nodal tiap elemen, masing-masing titik nodal memiliki 3 derajat kebebasan, yaitu: translasi nodal pada sumbu X dan pada sumbu Y serta rotasi terhadap sumbu Z, dinotasikan dengan  $U_x$ ,  $U_y$ ,  $\theta_z$  (atau  $ROT_z$ ), ditunjukkan pada Gambar 3. Data elemen BEAM3 meliputi: luas penampang, momen inersia, tinggi penampang dan properti material. Jenis elemen BEAM3 yang dipilih dalam penelitian ini dengan memperhitungkan pengaruh nonlinier lendutan besar dan pengaruh penguatan tegangan dalam analisis *buckling*.



**Gambar 3. Notasi derajat kebebasan titik nodal pada elemen batang 2 dimensi untuk pemodelan kolom.**

**Analisis eigen buckling elemen hingga**

Analisis *linear buckling* disebut juga *eigenvalue buckling* merupakan metode yang digunakan untuk mendapatkan beban kritis *buckling* dari titik bifurkasi (*bifurcation point*) pada struktur elastis-linier. Metode elemen hingga untuk mendapatkan beban kritis dan ragam bentuk *buckling* dilakukan dengan menyelesaikan persamaan kesetimbangan homogen (Cook, 1981; Weaver dan Johnston, 1984 ; ANSYS, 2009):

$$([K_0] + \lambda_k [K_\sigma]) \{P\} = \{0\} \dots\dots\dots (4)$$

dimana:

$[K_0]$  = matriks kekakuan umum

$[K_\sigma]$  = matriks kekakuan tegangan atau matriks geometri

$\lambda_k$  = nilai eigen yaitu faktor ragam bentuk *buckling mode shape*.

Beban *buckling* dari hasil penyelesaian *eigen value* yang diturunkan dari Persamaan (4) biasanya diambil yang terkecil  $\{P_{cr}\} = \lambda_k \{P\}$ .

Prosedur analisis *eigenvalue linear buckling* dengan Program ANSYS adalah (ANSYS, 2009):

- a. bentuk model stuktur masukkan data koordinat titik nodal, *real constants*, properti material, elemen dan kondisi tumpuan;
- b. lakukan solusi statis aktifkan matriks kekakuan tegangan “PRESTRES, ON”, berikan beban satuan dan selesaikan;
- c. lakukan solusi *eigenvalue buckling* mengaktifkan analisis *eigenvalue buckling* dengan perintah “ANTYPE, BUCKLE”. Gunakan pilihan metode iterasi “BUCOPT, LANB” menggunakan metode iterasi subspace Lanczos;
- d. perluas solusi *eigenvalue buckling* untuk ragam lainnya dengan perintah “MXPAND”;
- e. review hasil untuk mendapatkan faktor beban *buckling* dan bentuk ragam *buckling*.



### Analisis nonlinier post-buckling

Hasil analisis elemen hingga *nonlinear* kolom dapat menggambarkan perilaku kolom hubungan beban-perpindahan tahap *post-buckling*. Berbeda dengan analisis *eigen linear buckling* yang hanya untuk mengetahui besarnya beban *buckling* dan pola deformasi geometri, hasil analisis elemen hingga *nonlinear* dapat menggambarkan perilaku beban terhadap perpindahan pada setiap tahap pembebanan yang telah memperhitungkan pengaruh lendutan besar (*large-deflection*).

Analisis elemen hingga kolom dilakukan dengan model sebagaimana terlihat pada Gambar 1. Pembagian jumlah elemen sebanyak 10 buah dan jumlah titik nodal 11 buah. Jumlah titik dipilih 11 buah agar beban lateral horizontal dapat dikerjakan tepat di tengah panjang batang yaitu 0.5 L.

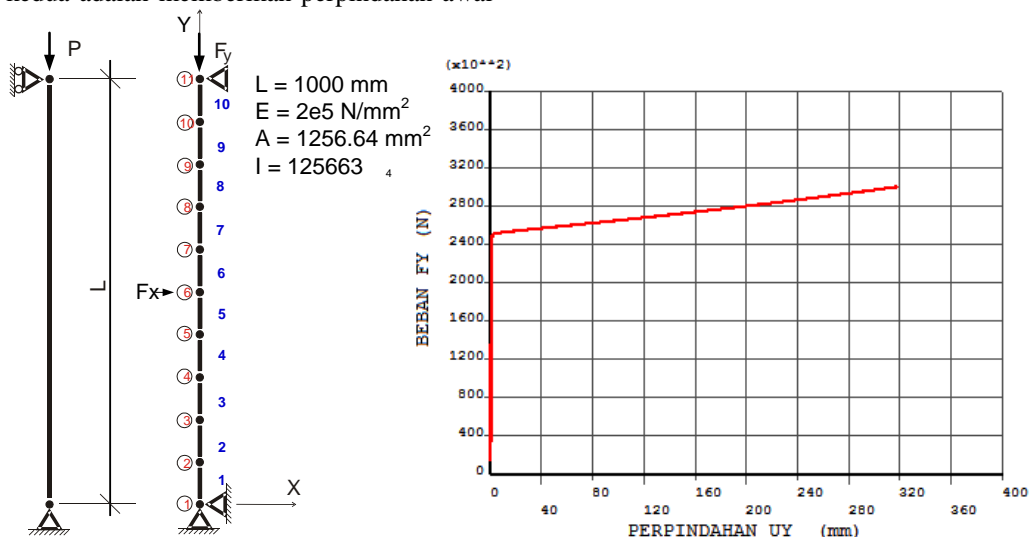
Besarnya beban awal  $F_y$  dalam analisis nonlinier diprediksi berdasarkan beban kritis rumus Euler. Cara untuk membangkitkan terjadinya *buckling* dalam analisis nonlinier yang digunakan dalam penelitian ini ada 2 macam yaitu, cara pertama dengan memberikan sentuhan gaya horizontal yang sangat kecil  $F_x$  di titik tengah tinggi kolom. Beban horizontal  $F_x$  diambil sangat kecil disimulasi untuk 3 jenis yaitu  $1 \times 10^{-3}$ ,  $1 \times 10^{-4}$  dan  $1 \times 10^{-5}$  dari beban aksial  $F_y$  yang bekerja. Cara yang kedua adalah memberikan perpindahan awal

maksimum yang sangat kecil yaitu antara  $1/200 \cdot L$  sampai  $1/1000 \cdot L$  di tengah tinggi kolom.

### Perilaku beban-perpindahan P- $U_y$ dan P- $U_x$

Hasil analisis perilaku beban-perpindahan vertikal P- $U_y$  atau  $F_y$ - $U_y$  disajikan pada Gambar 5. Pada tahap beban  $F_y$  mulai nol sampai beban mendekati beban kritis  $P_{cr}$  struktur berperilaku linier ditunjukkan dengan kurva garis lurus. Kemiringan garis ini merupakan kekakuan aksial kolom *pre-buckling*. Beban kritis *buckling* tercapai pada  $P_{cr}=F_y=251.501$  kN dengan perpindahan  $U_y=1.000$  mm. Penambahan beban sedikit di atas beban kritis  $P_{cr}$  menghasilkan tambahan perpindahan yang besar. Pada beban *post-buckling*  $P=267.123$  kN perpindahan vertikal sebesar  $U_y=117.784$  mm, sedangkan untuk beban *post-buckling*  $P=288.127$  kN perpindahan vertikal sebesar  $U_y=255.013$  mm.

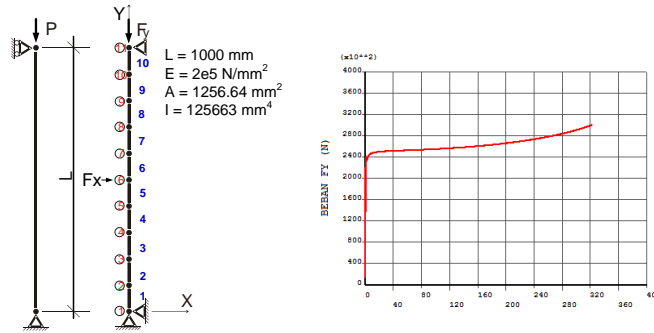
Kurva beban-perpindahan horizontal P- $U_x$  atau  $F_y$ - $U_x$  kolom disajikan pada Gambar 6. Beban yang dikerjakan adalah P atau  $F_y$  yang menghasilkan perpindahan horizontal di titik tengah kolom  $U_{x(6)}$ . Beban kritis *buckling* tercapai pada  $P_{cr}=251.501$  kN dengan perpindahan horizontal  $U_{x(6)}=7.707$  mm. Pada beban *post-buckling*  $P=274.123$  kN perpindahan horizontal sebesar  $U_{x(6)}=10.319$  mm, sedangkan untuk beban  $P=288.127$  kN perpindahan horizontal sebesar  $U_{x(6)}=295.555$  mm.



b. Model elemen hingga kolom

a. Kurva beban-perpindahan vertikal  $F_y$ - $U_y$

Gambar 5. Geometri dan kurva beban perpindahan vertikal ( $F_y$ - $U_y$ ) struktur kolom.



a. Model elemen hingga kolom      b. Kurva beban-perpindahan vertical  $F_y-U_y$

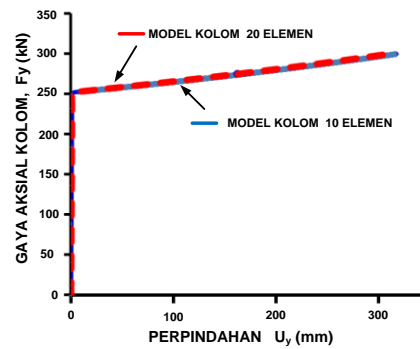
Gambar 6. Geometri dan kurva beban perpindahan horizontal ( $F_y-U_x$ ) struktur kolom.

Perbedaan bentuk kurva  $F_y - U_y$  dan  $F_y - U_x$  pada Gambar 5 dan Gambar 6 adalah:

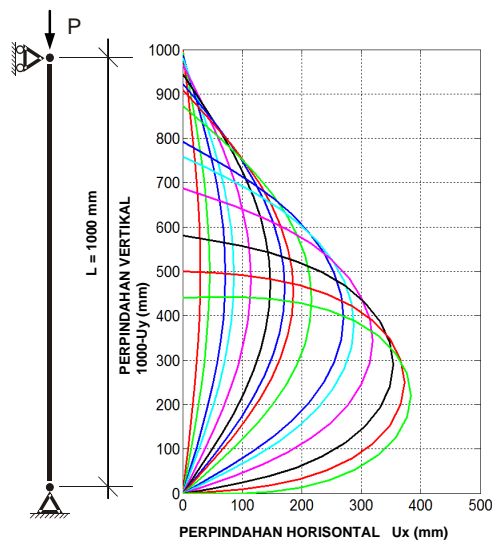
- kurva *pre-buckling* yaitu kurva sebelum titik bifurkasi *buckling* untuk  $F_y - U_y$  berupa garis lurus atau hampir lurus, sedangkan kurva *pre-buckling*  $F_y - U_x$  berupa kurva lengkung. Kurva *pre-buckling*  $F_y - U_y$  linier karena sebelum terjadi *buckling* perpindahan vertikal diperoleh dari perpendekan batang, yaitu  $U_y = F_y L / (EA)$  yang merupakan hubungan linier antara  $F_y - U_y$  karena  $L$ ,  $E$  dan  $A$  konstan. Sedangkan hubungan antara beban  $F_y-U_x$  bersifat nonlinier geometri;
- kurva *post-buckling* yaitu kurva setelah titik bifurkasi *buckling* untuk  $F_y - U_x$  berupa lengkung pengerasan ke atas, sedangkan untuk kurva  $F_y - U_y$  cenderung linier berupa garis lurus.

Untuk menguji perbedaan jumlah elemen pemodelan kolom maka dilakukan studi perbandingan antara jumlah elemen 10 buah dan 20 buah dengan data kolom yang sama. Hasil analisis kurva  $F_y-U_y$  perbandingan antara 10 elemen dan 20 elemen disajikan dalam kurva pada Gambar 7. Dari gambar ini terlihat kurva  $F_y - U_y$  antara pemodelan 10 elemen dan 20 elemen berimpit, yang berarti perbedaannya tidak signifikan.

Gambar 8 menyajikan deformasi arah x dan arah y struktur kolom dalam studi ini dari hasil analisis elemen hingga nonlinier geometri. Pada perpindahan vertikal ujung atas kolom  $U_y=0.259 L$ ; perpindahan horizontal di tengah kolom mencapai  $U_x=0.295 L$ . Hasil analisis *The elastica* beam dari Timoshenko dan Gere (1961)  $U_y=0.297 L$ , dengan perbedaan yang relatif kecil yaitu 0.67%. Bentuk deformasi kolom elastis seperti Gambar 8 juga untuk kolom elastis yang lain dapat dijumpai pada Tongyun (2004).



Gambar 7. Perbandingan kurva beban-perpindahan vertikal ( $F_y-U_y$ ) hasil analisis nonlinier kolom B01 antara model 10 elemen dan 20 elemen.



Gambar 8. Deformasi horizontal dan vertikal riwayat beban struktur kolom elastis nonlinier.

### Persamaan kurva hubungan beban - perpindahan vertikal kolom

Hubungan beban-perpindahan aksial kolom dapat diturunkan secara matematik berdasarkan teori lendutan besar (*large deflection*). Persamaan

hubungan beban-perpindahan aksial kolom elastis lendutan besar yang ditumpu sendi-rol pada kedua ujungnya dirumuskan sebagai berikut (Bazant dan Cedolin,1991); Timoshenko dan Gere, 1961):

$$P = P_{cr} + \frac{P_{cr}}{2 + P_{cr}/(EA)} (u/L) ; \quad P \geq P_{cr} \dots\dots\dots (6)$$

dimana:

$P_{cr} = \pi^2 EI/L^2$  adalah beban kritis kolom dari rumus Euler.

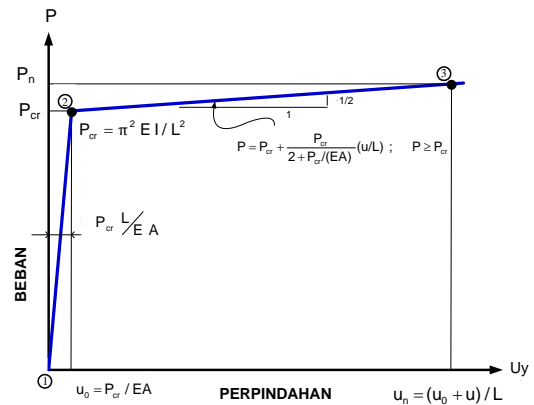
Persamaan (6) dapat disajikan dalam bentuk kurva beban perpindahan  $F_y - U_y$  pada Gambar 9. Bila titik 1 dengan titik 2 dan titik 2 dengan titik 3 pada kurva  $F_y - U_y$  Gambar 9 dihubungkan dengan garis lurus maka diperoleh hubungan  $F_y - U_y$  sebagai kurva bilinear 1-2-3. Dengan memperhatikan hasil analisis elemen hingga nonlinier untuk kolom dalam studi ini dan memperhatikan Persamaan (6) serta mengambil data hasil analisis *elastica* (*buckled-bar*) dari Timoshenko dan Gere (1961) maka diusulkan sebuah kurva bilinear  $F_y-U_y$  untuk kolom elastis disajikan pada Gambar 9.

Verifikasi terhadap model kurva bilinear  $F_y - U_y$  Gambar 10 untuk kolom elastis dilakukan dengan membandingkan kurva beban-perpindahan  $F_y - U_y$  sebagai berikut: (a) Model FEM dengan sentuhan gaya  $F_x$ ; (2) Model FEM dengan perpindahan awal  $\delta x$ ; (3) Model bilinear; (4) Teori *elastica* Timoshenko & Gere (1961); (5) Bazant & Cedolin (1991). Kurva perbandingan disajikan pada Tabel 2 dan Gambar 11.

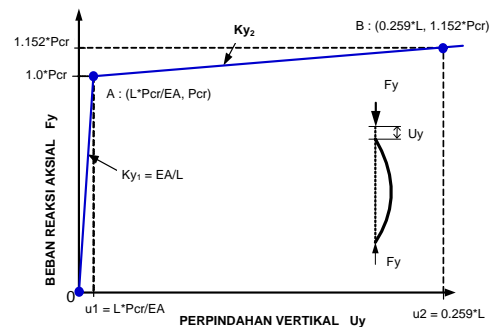
Nilai perbandingan  $P/P_{cr}$  model  $F_y - U_y$  bilinear pada perpindahan antara  $0.03 u_y/L$  sampai  $0.259 u_y/L$  berada di tengah-tengah antara model (1) dan (2) dengan (4) dan (5). Pada perpindahan  $u_y/L=0.259$  nilai  $P/P_{cr}$  sama antara model bilinear (3) dengan model (4) teori elastica Timoshenko dan Gere (1961). Hal ini karena model (3) mengambil koordinat pada  $u_y/L=0.259$  pada model Timoshenko dan Gere (1961) sebagai kemiringan

garis *post-buckling*. Dari Gambar 4.48 dan 4.49 terlihat bahwa lima model kurva  $F_y - U_y$  relatif hampir berimpit. Bila dilihat secara detail perbedaan  $P/P_{cr}$  antar kurva terbesar adalah 8.2%.

Kurva beban-perpindahan vertikal  $F_y - U_y$  hasil analisis nonlinier elemen hingga kolom serta model bilinear  $F_y - U_y$  Gambar 10 dalam penelitian ini digunakan model *nonlinear spring* kolom elastis elemen hingga.



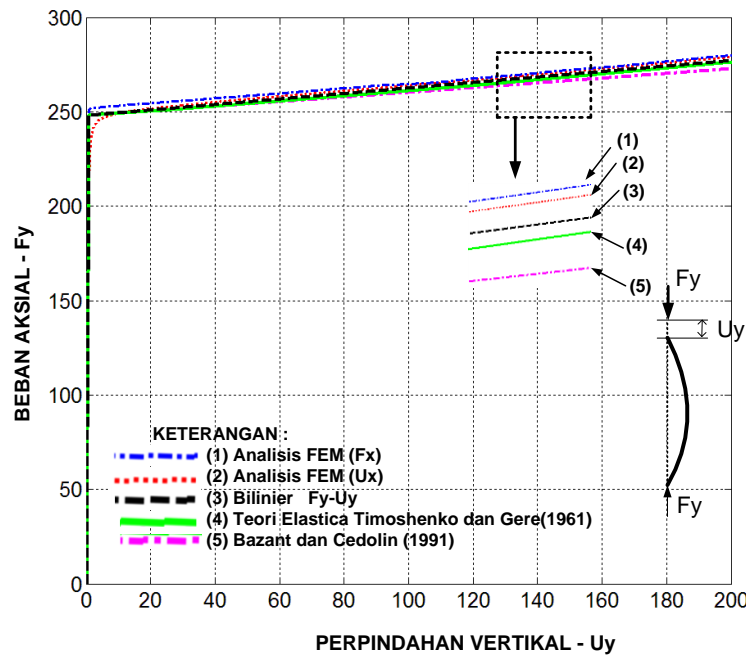
Gambar 9. Model bilinear kurva beban-perpindahan aksial P - Uy, dari model Bazant dan Cedolin(1991).



Gambar 10. Model kurva bilinear beban-perpindahan vertikal kolom  $F_y - U_y$  yang diusulkan.

Tabel 2. Perbandingan koordinat kurva P-Uy kolom non-dimensional.

No	Model	Titik kritis		$u_{v2}/L=0.03$		$u_{v3}/L=0.119$		$u_{v4}/L=0.259$	
		$u_{v1}/L$	$P_{cr1}/P_{cr}$	$u_{v2}/L$	$P_2/P_{cr}$	$u_{v3}/L$	$P_3/P_{cr}$	$u_{v4}/L_r$	$P_4/P_{cr}$
1	Analisis FEM; sentuhan $F_x$	1.000e-3	1.014	0,03	1.031	0,117	1.077	0,255	1.161
2	Analisis FEM; perpindahan awal, $\delta x$	3.188e-3	0,984	0,03	1.022	0,119	1.075	0,259	1.164
3	Bi-linier; $F_y-U_y$	0.987e-3	1.000	0,03	1.018	0,119	1.070	0,259	1.152
4	Teori Elastica, Timoshenko dan Gere (1961)	0.987e-3	1.000	0,03	1.015	0,119	1.063	0,259	1.152
5	Bazant dan Cedolin (1991)	0.987e-3	1.000	0,03	1.015	0,119	1.059	0,259	1.076



Gambar 11. Perbandingan kurva beban-pepindahan vertikal kolom  $F_y - U_y$ .

## Kesimpulan

Dari hasil dan pembahasan diatas dapat disimpulkan:

1. Kurva hubungan beban-pepindahan lateral tahap *post-buckling* kolom lengkung ke arah penguatan (*stiffening*) sedangkan kurva beban-pepindahan aksial cenderung linier.
2. Perbandingan kurva beban-pepindahan aksial antara hasil analisis nonlinier lendutan besar metode elemen hingga dengan kurva linier dari Timoshenko dan Gere (1961) dan Bazant & Cedolin (1991) menunjukkan kurva yang hampir berimpit. Dari hasil penelitian ini diusulkan sebuah kurva hubungan beban-pepindahan aksial bilinear kolom pada Gambar 10 yang dapat dipakai sebagai model elemen *nonlinear spring* pada analisis elemen hingga struktur gabungan pada *frame* atau rangka batang.
3. Tidak terdapat perbedaan signifikan pada kurva beban-pepindahan aksial antara hasil analisis *nonlinear buckling* dengan cara pembangkit awal *buckling* antara beban lateral awal yang sangat kecil dengan deformasi lateral awal yang sangat kecil.
4. Perbandingan hasil antara hasil analisis elemen hingga *linear buckling* dengan hasil rumus Euler relatif kecil (kurang dari 0.0007%). Hal

ini menunjukkan bahwa pemilihan jumlah elemen (10 buah) dan jenis elemen balok-kolom (BEAM3) pada penelitian ini cukup akurat.

## Ucapan terima kasih

Penelitian ini merupakan bagian dari penelitian disertasi pada Program Doktor Teknik Sipil Universitas Dinonegoro Semarang, Indonesia. Ucapakan terimakasih kepada Kepala Laboratorium Perancangan dan Tribologi dan dosen Jurusan Teknik Mesin Universitas Diponegoro Semarang atas ijin dan bantuannya dalam penelitian ini menggunakan fasilitas simulasi komputasi numerik *Finite Element Method (FEM)* dengan Program ANSYS Release 12.0.

## Daftar Pustaka

- ANSYS, 2009. *Theory Reference for the Mechanical APDL and Mechanical Applications, Release 12.1*, ANSYS, Inc. Southpointe 275 Technology Drive, Canonsburg.
- Bathe, K.J., 1982. *Finite Element Procedures in Engineering Analysis*, Prentice-Hall, New Jersey.
- Bazant, Z.P., 2000. *Stability of Elastic, Anelastic, and Disintegrating Structures*, Zamm Z. Angew. Math. Mech. 80 (2000) 11-12, 709-732.

Chajes, A., 1974. *Principles of Structural Stability Theory*. Englewood Cliffs, Inc. New Jersey.

Cook, R.D., 1981. *Concepts and Applications of Finite Element Analysis*. John Wiley & Sons Inc. USA.

Crisfield, M.A., 1980. *A Fast Incremental/Iterative Solution Procedure that Handles "Snap-Through"*. *Computer and Structures* Vol.13 pp.55-62, England.

Crisfield, M.A., 2000. *Non-Linear Finite Element Analysis of Solids and Structures - Volume 1 : Essentials*. John Wiley & Sons, England.

Timoshenko, S. P., dan Gere, J.M., 1961. *Theory of Elastic Stability*, McGraw-Hill Book Company, Inc. New York.

Tongyun, W., 2004. *A Numerical Studi of Elastica Using Constrained Optimization Methods*, Thesis, Department of Civil Engineering, National University of Singapore.

Weaver, W.Jr., dan Johnston, P.R., 1984. *Finite Elements for Structural Analysis*. Prentice Hall, Inc., New Jersey.